

第十一章 电流和恒磁场

11.1 恒定电流条件和导电规律

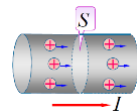
11.1.1 电流强度和电流密度 electric current & density

截留子 金属导体中的带电粒子 **正截留子** 流动方向为电流之方向

电流强度 $I = \frac{dQ}{dt}$ 单位时间通过导体截面的电量 其为标量,有正负之分 **单位:** $1A = 10^3mA = 10^6\mu A$

导体均匀情况 $I = \frac{dQ}{dt} = \frac{nevdt}{dt} = \frac{nev_d dtS}{dt} = nev_d S$ 其中 v_d 为电子漂移速度大小

n 自由电子数密度 在时间间隔 dt 内, 圆柱体内自由电子的通过量

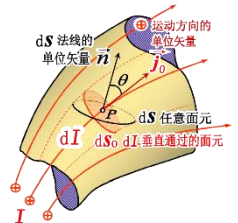


电流密度 **定义式** $\vec{j} = \frac{dI}{dS_0} \vec{j}_0$ 即 P 点处的电流密度矢量 **大小:** $j = \frac{dI}{dS_0} = \frac{dI}{dS \cos \theta}$ **方向:** \vec{j}_0 方向

单位: $A \cdot m^{-2}$ **意义:** 描述电流分布的物理量

定义: 在导体中任意一点的方向与**正截留子**在该点流动方向相同

大小等于通过该点并**垂直**于电流的**单位截面**电流强度



电流强度与电流密度关系 $I = \iint_S dI = \iint_S j \cos \theta dS = \iint_S \vec{j} \cdot d\vec{S}$ 通过导体中任一曲面 S 的电流强度

电流场 由电流密度和电通量($\Phi_e = \iint_S \vec{E} \cdot d\vec{S}$)的关系式比较, 可知 I 和 j 的关系也是通量和其矢量场的关系

则有电流的导体中, 每一点都具有一定大小和方向的电流密度矢量, 构成矢量场, 称其为**电流场**

电流线 形象描述电流场中电流的分布, 规定曲线切线方向为 j 的方向

电流管 由电流线围成的管状区域为电流管。恒定电流时, 通过同一电流管任一横截面的电流相等。

11.1.2 电流的连续性方程和恒定电流条件

电流连续性方程 导体内任取一闭合曲面 S, 根据**电荷守恒**, 单位时间由 S 流出电量必定等于同时 S 所包围电量减少

积分形式 $\oiint_S \vec{j} \cdot d\vec{S} = -\frac{dq}{dt}$ 以体电荷形式分布 $\oiint_S \vec{j} \cdot d\vec{S} = -\frac{d}{dt} \iiint_V \rho d\tau$

微分形式 $\nabla \cdot \vec{j} = -\frac{\partial \rho}{\partial t}$ 在曲面 S 所包围的体积 τ 内积分 $\iiint_V \nabla \cdot \vec{j} d\tau = -\iiint_V \frac{\partial \rho}{\partial t} d\tau$

恒定电流 即电流场不随时间变化的电流, 由分布不随时间变化的电荷所激发的电场叫恒定电场

积分形式: $\oiint_S \vec{j} \cdot d\vec{S} = 0$ **微分形式:** $\nabla \cdot \vec{j} = 0$

恒定电场中过任意闭合曲面的电流必定等于 0. 恒定电场的电流线必定是头尾相接的闭合曲线。

库仑电场 恒定电场是由**运动的而不随时间变化的电荷**所激发的, 遵从高斯定理和环路定理, 恒定电场与静电场具有相同的性质, 通称为库仑电场

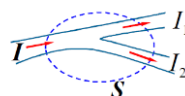
注意 1. **恒定电流的电路必须闭合**

2. 由恒定电流条件可得结论 $-I + I_1 + I_2 = 0$

3. 导体表面的电流密度矢量无法向分量

4. 对一段无分支的稳恒电路, 其各横截面的电流强度相等

5. 在电路的任一节点处, 流入的电流强度之和等于流出节点的电流强度之和 (**节点电流定律 基尔霍夫第一定律**)



恒定电场 1. 在恒定电流条件下, **导体中的电荷分布不随时间变化**形成恒定电场

2. 恒定电场与静电场**具有相似性质**, 恒定电场中可以**引入电势概念**

3. 恒定电场的存在**伴随着能量的转换**

- 比较**
- ① 静电场产生电场的电荷始终固定；恒定电场电荷分布不随时间改变但伴随电荷的定向移动
 - ② 静电场静电平衡,导体内 $E = 0$,导体表面等势；恒定电场导体内 $E \neq 0$,导体内任意两点不等势
 - ③ 静电场电场有保守性,是保守场；恒定电场也是保守场
 - ④ 维持静电场无需能量转换；维持稳恒电场需要能量转换

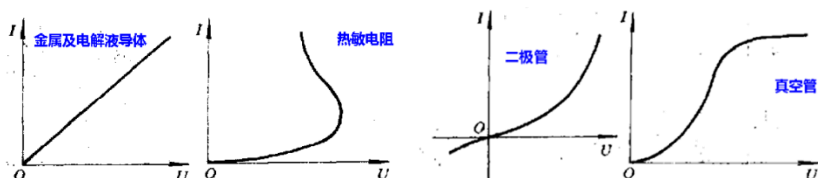
11.1.3 导体电阻 resistance of conductor

基本定义 两端电势差与电流之比 $R = \frac{U}{I}$ 单位: 欧姆 Ω $1\Omega = 1V \cdot A^{-1}$

电导 电阻的倒数,用G表示 单位: 西门子S $1S = 1\Omega^{-1}$

伏安特性曲线 电势差为横坐标,电流为纵坐标。金属和电解液导体的曲线是一条过原点的直线。具备该性质的电阻为线性电阻或欧姆电阻,这种器件称为线性器件。

典型曲线



11.1.4 导体电阻率 resistivity of conductor

基本定义 电场强度E大小与同点电流密度j大小之比 $\rho = \frac{E}{j}$ $R = \rho \frac{l}{S}$

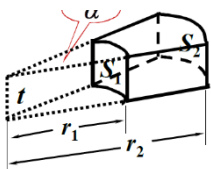
金属材料电阻率 具体电阻率取决于材料本身性质。有 $\rho = \rho_0(1 + \alpha t)$, 其中 α 为电阻温度系数
故有 $R = R_0(1 + \alpha t)$, 可制成电阻温度计 (纯金属线膨胀系数很小, 可忽略长度截面积变化)

单位 欧姆米 $\Omega \cdot m$

电导率 电阻率的倒数,用 σ 表示 $\sigma = 1/\rho$ 单位: 西门子/米 $S \cdot m^{-1}$

超导 某些材料电阻率在特定温度 T_c 以下减小到接近0的现象,处于超导状态的材料叫超导体
其中, T_c 称超导转变温度,其随具体材料变化。

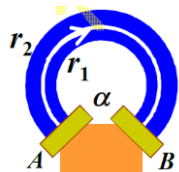
例题 1. 有扇形电极厚t, 电流从半径为 r_1 的端面 S_1 流向半径为 r_2 的端面 S_2 , 扇形张角 α , 求 S_1S_2 之间的电阻



$$有 dR = \rho \frac{dl}{dS} = \rho \frac{dr}{\alpha r t} \quad R = \int_{r_1}^{r_2} \rho \frac{dr}{\alpha r t}$$

$$则 R = \frac{\rho}{\alpha t} \ln \frac{r_2}{r_1}$$

2. 碳膜电位器: 绝缘基片,厚为t, 内外半径为 r_1, r_2 的一层碳构成。AB为引出端, 张角 α , 求AB间电阻
A、B间电阻可视为由若干不同长度截面相同的电阻并联而成。(电导率已知)



$$电导为 dG = \sigma \frac{dS}{l} = \sigma \frac{t dr}{\alpha \cdot r} \quad 则 G = \int_{r_1}^{r_2} \sigma \frac{t dr}{\alpha \cdot r} = \sigma \frac{t}{\alpha} \ln \frac{r_2}{r_1}$$

$$则 R = \frac{1}{G} = \frac{\alpha}{\sigma t} \ln \frac{r_1}{r_2}$$

11.1.5 欧姆定律 Ohm's law

定律内容 R是与U和I无关的常量,即 $I = U/R$ 其反映了金属导体导电的基本特性
电阻是常量,电流和电势差成正比 (适用于金属导体、电解液和熔融盐)

微分形式 取长为dl, 截面积为dS的细电流管。设两端电势差为dU

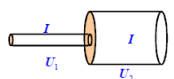
$$则 dI = \frac{dU}{R} \quad R = \frac{\rho dl}{dS} \quad dI = \frac{1}{\rho} \frac{dU}{dl} dS \quad \frac{dI}{dS} = \frac{1}{\rho} \frac{dU}{dl} = \frac{1}{\rho} E = \sigma E$$

则 $\vec{j} = \frac{1}{\rho} \vec{E} = \sigma \vec{E}$ 其反映了金属导体中任意一点上j和E的关系,适用于恒定电流和变化电流

注意 对于一般金属或电解液,欧姆定律在相当大电压范围内成立。但对于许多导体和半导体,欧姆定律不成立
典型模型

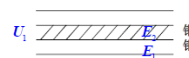
- ① 电流是电荷流动,在j=0的地方,电荷体密度不一定为零 (在静电场中, j=0, $\rho \neq 0$)

② 两截面不同的铜棒接在一起，两端加有电压，探讨 j 、 E 的情况。



$$j = \frac{I}{S} \text{ 相同, } S_1 \neq S_2 \text{ 所以 } j_1 = j_2 \text{ 又 } j = \sigma E, \text{ 所以 } E_1 \neq E_2$$

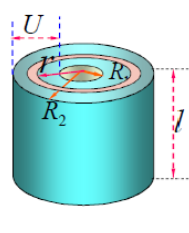
③ 铜棒外围裹有银圈，问铜棒中和银棒中的 j 、 E 情况。



$$\text{由于 } U_1 - U_2 = E\Delta l \text{ 所以 } E_1 = E_2 \text{ 又 } j = \sigma E, \sigma_1 \neq \sigma_2 \text{ 所以 } j_1 \neq j_2$$

例题

1. 有金属圆筒 (R_1, R_2)，长度 l 电阻率 ρ ，若已知筒内外电势差 U ，且内缘电势高，求径向电流强度。



法一 $dR = \rho \frac{dr}{S} = \rho \frac{dr}{2\pi r l} \quad R = \int_{R_1}^{R_2} \frac{\rho dr}{2\pi r l} = \frac{\rho}{2\pi l} \ln \frac{R_2}{R_1} \quad I = \frac{U}{R} = \frac{2\pi l U}{\rho \ln \frac{R_2}{R_1}}$

法二 $I = \int \vec{j} \cdot d\vec{S} = j 2\pi r l \Rightarrow j = \frac{I}{2\pi r l} = \frac{E}{\rho} \Rightarrow E = \frac{I \rho}{2\pi r l}$

$$U = \int \vec{E} \cdot d\vec{r} = \int_{R_1}^{R_2} \frac{I \rho}{2\pi r l} dr = \frac{I \rho}{2\pi l} \ln \frac{R_2}{R_1} \text{ 则 } I = \frac{U}{R} = \frac{2\pi l U}{\rho \ln \frac{R_2}{R_1}}$$

2. 上下两层电导率为 σ_1, σ_2 的均匀导电介质，厚度为 d_1, d_2 ，截面积 S ，通过电流强度为 I ，求分别场强与电势差。

$$\text{由 } I = \iint \vec{j} \cdot d\vec{S} \quad \vec{j} = \sigma \vec{E} \text{ 得: } I = j \cdot \Delta S \quad j_1 = \sigma_1 E_1 \quad j_2 = \sigma_2 E_2 \quad j = \frac{I}{\Delta S}$$

11.1.6 电功率和焦耳定律 electric power & Joule's law

电功 在电路中电场力所作的功称为电流的功 $dA = dqU = IUdt$ (U 从 A 到 B 点电势降落)

电功率 $P = \frac{dA}{dt} = UI$

焦耳定律 如果电势能的降低全部转化为热能

数学表达式 $Q = A = I^2 R t \quad P = I^2 R$ 可应用于纯电阻与非纯电阻

热功率密度 在点流场中一根细电流管运用焦耳定律，得到 $\Delta P = I^2 R = (j \Delta S)^2 \left(\frac{\rho \Delta l}{\Delta S} \right) = j^2 \rho (\Delta l \Delta S) = j^2 \rho \Delta \tau_{\text{体积}}$

单位导体体积的热功率即为 **热功率密度** $p = \sigma E^2$ **焦耳定律微分形式**

11.1.7 电动势 electromotive force

电源 在导体中有稳恒电流流动不能单独依靠静电场，必须有**非静电力**把正电荷从负极移动到正极，才能在导体两端维持稳恒电势差。**这种提供非静电力的装置就是电源。**电源是把能量转换为电能的装置，静电力使正电荷从高电位到低电位。非静电力使正电荷从低电位到高电位。

内电路 电源内部电流从负极→正极

非静电性电场电场强度 使用 K 表示，即**单位正电荷所受的非静电力**

在电源内部，内电路电荷同时受到恒定电场和非静电性电场的作用，而在外电路中仅受到恒定电场作用因此，在电荷 q 沿电路运行一周的过程中，各种电场所作的总功为

$$A = \int_+^- q \vec{E} \cdot d\vec{l} + \int_-^+ q (\vec{E} + \vec{K}) \cdot d\vec{l} = \oint q \vec{E} \cdot d\vec{l} + \int_-^+ q (\vec{K}) \cdot d\vec{l} \text{ 遵从环路定律，化为 } A = q \int_-^+ q (\vec{K}) \cdot d\vec{l}$$

电源电动势 记为 ε ，定义为**单位正电荷**沿闭合电路运行一周**非静电力**所作的功

表征电源将其他形式能量转化为电能的本领

$$\varepsilon = \frac{A}{q} = \int_-^+ \vec{K} \cdot d\vec{l} \quad \varepsilon \text{ 是标量，可取正、反两个方向。规定从负极经电源到正极的方向为电动势方向}$$

注意 非静电性电场只存在于电源内部，其方向沿着电源内部从负极指向正极。考虑一般情形，非静电性电

场可能存在于整个电路，于是有 $\varepsilon = \oint \vec{K} \cdot d\vec{l}$

11.2 磁场和磁感应强度

11.2.1 磁现象

磁极 磁铁磁性最强区域, 磁铁指向北方的磁极为**磁北极** (N 极), 指向南方为**磁南极** (S 极)
磁石同极相斥, 异极相吸

磁现象 有天然磁体周围磁场、载流导线磁场、电子束周围磁场
载流导线能偏转磁针、磁场给导线力的作用、导线之间有力的作用、载流线圈之间有力的作用

分子电流 电荷的运动是一切磁现象的根源, 运动电荷产生磁场, 磁场对运动电荷有磁力作用

11.2.2 磁感应强度 magnetic induction

磁场对外重要表现 1. 磁场对处于场中的运动电荷(载流导体)有磁力作用【力的角度】
2. 载流导体在磁场中移动时, 磁力将对载流导体做功, 表明磁场具有能量【能量角度】

零力线 带电粒子所受力与其运动方向有关。实验发现带电粒子在磁场中沿某一**特定直线**方向运动时**不受力**, 此直线方向与电荷无关

磁感应强度 带电粒子在磁场中沿其他方向运动时, \vec{F} 垂直于 \vec{v} 与零力线组成的平面。

当带电粒子在磁场中**垂直于**此零力线运动时, **受力最大**。 $F_{max} \propto qv$

定义 当正电荷垂直于零力线运动时, 受力 \vec{F}_{max} , 将 $\vec{F}_{max} \times \vec{v}$ 方向定义为该点磁感强度 \vec{B} 的方向(零力线方向)

大小 $B = \frac{F_{max}}{q_0 v_{\perp}}$ **运动电荷磁场中受力(洛伦兹力)** $\vec{F} = q\vec{v} \times \vec{B}$

单位 特斯拉 $1T = 1N/A \cdot m$ 高斯 $1T = 10^4 G$

方向 $\vec{F}_m \times \vec{v}$ 正电荷运动方向 满足右手螺旋

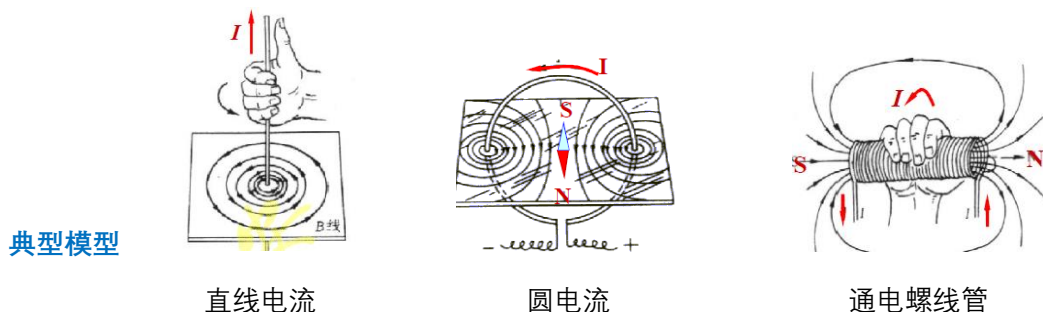
量纲 $[B] = \frac{[F_m]}{[q][v]} = \frac{N}{C \cdot m/s} = T$

例子 1. B 方向垂直纸面向里, F 水平向右, 正电荷: 则向下
2. B 方向垂直纸面向外, V 水平向右, 负电荷: 则向上
3. F 方向向上, v 方向向左, 负电荷, 则垂直纸面向里

11.2.3 磁感应线和磁通量 magnetic induction line & magnetic flux

磁力线 **磁感应线形象表示磁场分布状况**, 曲线上切线方向与 B 方向一致; 在与磁场垂直的单位面积上穿过曲线的条数, 与该处 B 的大小成正比, 即**疏密程度反应 B 的大小**。

磁感应管 一簇磁感应线围成的管状区域



典型模型

直线电流

圆电流

通电螺线管

注意 1. 每条磁力线是环绕电流的闭合曲线, 都与闭合电路互相套合。**磁场是涡旋场**。**磁线是无头无尾闭合回线**
2. 任意两条磁力线在空间不相交。
3. 磁力线环绕方向与电流方向之间可用**右手定则**表示

磁通量 通过某一曲面的磁感线数. 由于磁力线是闭合线, 如果环积分则为零 $\oint_S \vec{B} \cdot d\vec{S} = 0$ 。

公式 $\phi = \iint_S \vec{B} \cdot d\vec{S}$ **单位:** 韦伯 $1Wb = 1T \times 1m^2$

推导 $\phi = BS \cos \theta = BS_{\perp}$ $\phi = \vec{B} \cdot \vec{S} = \vec{B} \cdot \vec{e}_n S$ $d\phi = \vec{B} \cdot d\vec{S}$ $d\phi = B ds \cos \theta$

11.2.4 磁场中的高斯定理

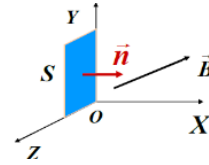
定理公式 $\oint_S \vec{B} \cdot d\vec{S} = 0$ 物理意义: 通过任意闭合曲面的磁通量必定等于零 (故磁场无源)

微分形式 $\oint_S \vec{B} \cdot d\vec{S} = \int_V \text{div} \vec{B} dV = 0$ 故有 $\text{div} \vec{B} = \nabla \cdot \vec{B} \Rightarrow \text{div} \vec{B} = 0$ or $\nabla \cdot \vec{B} = 0$

典例 1. 求均匀磁场中半球面的磁通量 $\phi_{S1} = B\pi R^2$

2. 在均匀磁场 $\vec{B} = 3\vec{i} + 2\vec{j}$ 中, 过 YOZ 平面内面积为 S 的磁通量

$$\phi_m = \vec{B} \cdot \vec{S} = (3\vec{i} + 2\vec{j}) \cdot S\vec{i} = 3S$$



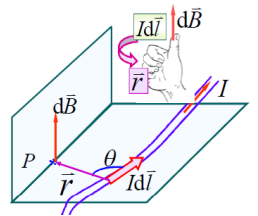
11.3 比奥-萨法尔定律

11.3.1 稳恒电流磁场

磁场微元 $d\vec{B} = \frac{\mu_0 I d\vec{l} \times \vec{r}}{4\pi r^3}$ 其中真空磁导率 $\mu_0 = 4\pi \times 10^{-7} \text{ N} \cdot \text{A}^{-2}$

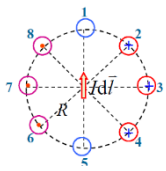
方向判断 $d\vec{B}$ 方向垂直于电流元 $I d\vec{l}$ 与 \vec{r} 组成的平面, $d\vec{B}$ 和 $I d\vec{l}$ 及 \vec{r} 三矢量满足矢量叉乘关系

磁场强度 $\vec{B} = \int d\vec{B} = \frac{\mu_0}{4\pi} \int_L \frac{I d\vec{l} \times \vec{r}}{r^3}$ (磁感强度叠加原理)



比奥萨伐尔定律 $d\vec{B} = \frac{\mu_0 I d\vec{l} \times \vec{r}}{4\pi r^3} = \frac{\mu_0 I dl \sin \theta}{4\pi r^2}$

例题 1. 判断下列各点磁感应强度的方向和大小



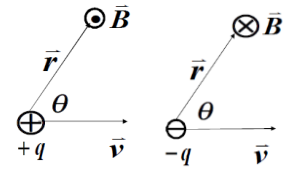
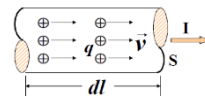
点 1、5: $dB = 0$

点 3、7: $dB = \frac{\mu_0 I dl}{4\pi R^2}$

点 2、4、6、8: $dB = \frac{\mu_0 I dl}{4\pi R^2} \sin 45^\circ$

11.3.2 运动电荷 (电流) 的磁场

磁场强度 $\vec{B} = \frac{\mu_0 q \vec{v} \times \vec{r}}{4\pi r^3}$ 有电流元 $I d\vec{l}$, 已知 $d\vec{B} = \frac{\mu_0 I d\vec{l} \times \vec{r}}{4\pi r^3}$



其中 $I = q$ 电荷 n 密度 v 速率 S 截面积, 载流子总数 $dN = nSdl$ $B = \frac{dB}{dN} = \frac{\mu_0 qv \sin(\vec{v}, \vec{r})}{4\pi r^2}$

11.3.3 典型模型

1. 载流直导线磁场

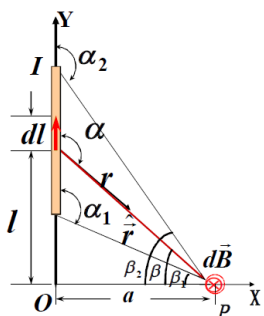
已知有真空中 I, α_1, α_2, a , 建立有坐标系 OXY

任取电流元 $I d\vec{l}$, 大小 $dB = \frac{\mu_0 I dl \sin \alpha}{4\pi r^2}$, 方向 $I d\vec{l} \times \hat{r}$, 则 $\vec{B} = \int d\vec{B} = \frac{\mu_0}{4\pi} \int \frac{I dl \sin \alpha}{r^2}$

统一积分变量: $l = a \tan(\pi - \alpha) = -a \cot \alpha$ $dl = a \csc^2 \alpha d\alpha$ $r = a / \sin \alpha$

则 $B = \frac{\mu_0}{4\pi} \int \frac{I dl \sin \alpha}{r^2} = \int \frac{\mu_0 \sin^2 \alpha}{4\pi a^2} I \sin \alpha \frac{a d\alpha}{\sin^2 \alpha} = \int_{\alpha_1}^{\alpha_2} \frac{\mu_0}{4\pi a} I \sin \alpha d\alpha = \frac{\mu_0 I}{4\pi a} (\cos \alpha_1 - \cos \alpha_2)$

$$B = \frac{\mu_0 I}{4\pi a} (\cos \alpha_1 - \cos \alpha_2)$$



① 无限长载流直导线

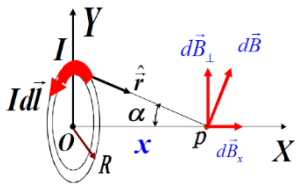
$\alpha_1 = 0, \alpha_2 = \pi$

$B = \frac{\mu_0 I}{2\pi a}$ 非匀强场

② 半无限长载流直导线 $\alpha_1 = \pi/2, \alpha_2 = \pi$ $B = \frac{\mu_0 I}{4\pi a}$ 注意场点位置

③ 直导线延长线上一点 $\alpha = 0, a = 0, dB = 0, B = 0$

2. 圆形电流轴线上磁场 已知有 R, I , 求轴线上 P 点的磁感应强度。建立有坐标系 OXY



任取电流元 $Id\vec{l}$, 大小 $d\vec{B} = \frac{\mu_0 Idl}{4\pi r^2}$, 方向 $Id\vec{l} \times \hat{r}$, 则分析对称性, 可写出分量式

$$\vec{B}_\perp = \int d\vec{B}_\perp = 0 \quad B_x = \int dB_x = \int \frac{\mu_0 Idl \sin \alpha}{4\pi r^2} \quad \text{统一积分变量 } \sin \alpha = R/r$$

$$B_x = \int dB_x = \int \frac{\mu_0 Idl \sin \alpha}{4\pi r^2} = \frac{\mu_0 IR}{4\pi r^3} \int dl = \frac{\mu_0 IR}{4\pi r^3} 2\pi R = \frac{\mu_0 IR^2}{2(R^2+x^2)^{3/2}}$$

大小: $B = \frac{\mu_0 IR^2}{2(R^2+x^2)^{3/2}}$ 方向: 右手螺旋法则

① $x \gg R$ $B = \frac{\mu_0 IR^2}{2x^3}$

② $x = 0$ 载流圆环 圆心角 $\theta = 2\pi$ $B = \frac{\mu_0 I}{2R}$

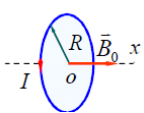
载流圆弧 圆心角 θ $B = \frac{\mu_0 I}{2R} \cdot \frac{\theta}{2\pi}$

③ 多匝 单匝: $B_{1\text{匝}} = \frac{\mu_0 IR^2}{2(R^2+x^2)^{3/2}}$ N 匝: $B_{N\text{匝}} = N \frac{\mu_0 IR^2}{2(R^2+x^2)^{3/2}}$

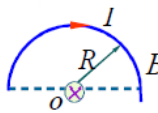
$$④ B = \frac{\mu_0 IR^2}{2(R^2+x^2)^{3/2}} = \frac{\mu_0 IR^2 \pi}{2\pi(R^2+x^2)^{3/2}} = \frac{\mu_0 IS}{2\pi(R^2+x^2)^{3/2}}$$

一匝磁矩: $\vec{m} = I \cdot \vec{S} = I \cdot S \cdot \hat{s}$ $B_{1\text{匝}} = \frac{\mu_0 \vec{m}}{2\pi(R^2+x^2)^{3/2}}$ N 匝磁矩: $\vec{m} = NI \cdot \vec{S} = NI \cdot S \cdot \hat{s}$ $B_{N\text{匝}} = \frac{\mu_0 \vec{m}}{2\pi(R^2+x^2)^{3/2}}$

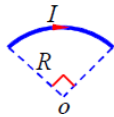
3 典型模型总结



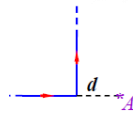
$$B_0 = \frac{\mu_0 I}{2R}$$



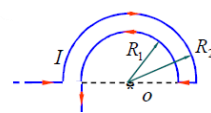
$$B_0 = \frac{\mu_0 I}{4R}$$



$$B_0 = \frac{\mu_0 I}{8R}$$

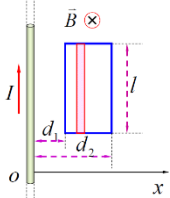


$$B_A = \frac{\mu_0 I}{4\pi d}$$



$$B_0 = \frac{\mu_0 I}{4R_2} - \frac{\mu_0 I}{4R_1} - \frac{\mu_0 I}{4\pi R_1}$$

例题 1. 如图载流长直导线电流为 I , 试求通过矩形面积的磁通量。

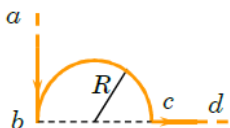


先求出 \vec{B} , 对磁场给出 $d\Phi$ 后积分求 Φ . 选择小窄条为面元

$$\text{有 } B = \frac{\mu_0 I}{2\pi x} \quad d\Phi = BdS = \frac{\mu_0 I}{2\pi x} l dx \quad \Phi = \int_S \vec{B} \cdot d\vec{S} = \frac{\mu_0 Il}{2\pi} \int_{d_1}^{d_2} \frac{1}{x} dx = \frac{\mu_0 I}{2\pi} l \ln \frac{d_2}{d_1}$$

2. 两平行长直导线相距 d , 每根导线 I , 方向相反, 求 ① 两导线所在平面内与两导线等距得一点 P 处的 \vec{B} ② 通过图中矩形面积的磁通量 Φ_m

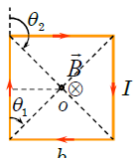
3. 计算组合载流导体在 o 点的 B



可见 o 点 B 由三段载流导体产生: $\vec{B}_0 = \vec{B}_{ab} + \vec{B}_{bc} + \vec{B}_{cd}$ 规定垂直纸面向里为正向

$$B_0 = -B_{ab} + B_{bc} = -\frac{\mu_0 I}{4\pi R} + \frac{\mu_0 I}{4R} = \frac{\mu_0 I}{4R} (1 - \frac{1}{\pi})$$

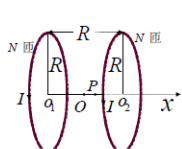
4. 有正方形载流线圈边长为 b , 通有电流 I , 求中心 B



$$B = B_1 + B_2 + B_3 + B_4 = 4B_1 \quad \text{有 } \theta_1 = \frac{\pi}{4}, \theta_2 = \frac{3\pi}{4}$$

$$B = 4 \frac{\mu_0 I}{4\pi b} \left(\cos \frac{\pi}{4} - \cos \frac{3\pi}{4} \right) = \frac{2\sqrt{2}\mu_0 I}{\pi b}$$

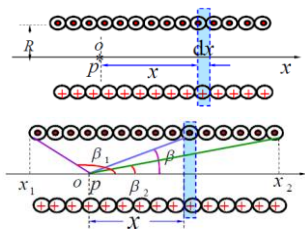
5. 亥姆霍兹线圈: 两个完全相同的 N 匝共轴密绕短线圈, 其中心间距与线圈半径 R 相等, 通有同向平行等大电流 I . 求轴线上 $o_1 \cdot o_2$ 之间任一点 P 的磁场。



$$B_P = \frac{\mu_0 N I R^2}{2 \left[R^2 + \left(\frac{R}{2} + x \right)^2 \right]^{3/2}} + \frac{\mu_0 N I R^2}{2 \left[R^2 + \left(\frac{R}{2} - x \right)^2 \right]^{3/2}} \quad \text{可以发现 } B_o = 0.72 \frac{\mu_0 N I}{R} \quad B_{o1} = B_{o2} = 0.68 \frac{\mu_0 N I}{R}$$

因此, 其在实验室中用作近似均匀磁场。

6. 载流直螺线管磁场: 一长为 l , 半径为 R 的载流密绕直螺线管, 总匝数 N , 通有电流 I . 将螺线管置于真空中, 求管内轴线上任意一点的磁感强度。



由圆形电流磁场公式 $B = \frac{\mu_0 I R^2}{2(x^2 + R^2)^{3/2}}$, 取竖直的某一匝为微元

则 $dB = \frac{\mu_0 R^2 (I \times n \times dx)}{2(x^2 + R^2)^{3/2}} \quad x = R \cot \beta, \quad dx = -R \csc^2 \beta d\beta, \quad R^2 + x^2 = R^2 \csc^2 \beta$

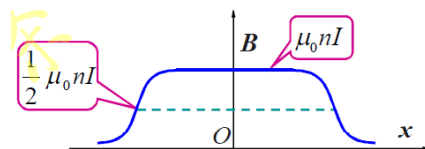
$B = \int dB = \frac{\mu_0 n I}{2} \int_{\beta_1}^{\beta_2} \frac{R^3 \csc^2 \beta d\beta}{R^3 \csc^3 \beta} = -\frac{\mu_0 n I}{2} \int_{\beta_1}^{\beta_2} \sin \beta d\beta$ 则 $B = \frac{\mu_0 n I}{2} (\cos \beta_2 - \cos \beta_1)$

讨论 ① P 点位于管内轴线中点 则 $\beta_1 = \pi - \beta_2 \quad \cos \beta_1 = -\cos \beta_2 \quad \cos \beta_2 = \frac{l/2}{\sqrt{(l/2)^2 + R^2}}$

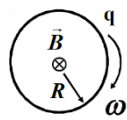
$$B = \mu_0 n I \cos \beta_2 = \frac{\mu_0 n I}{2} \frac{l}{(l^2/4 + R^2)^{1/2}} \quad \text{若 } l \gg R, \text{ 则 } B = \mu_0 n I$$

② 无限长螺线管 $B = \mu_0 n I$

③ 半无限长螺线管 则 $\beta_1 = \frac{\pi}{2}, \beta_2 = 0, B = \frac{1}{2} \mu_0 n I$



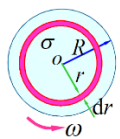
7. 旋转均匀带电圆环: 已知 q, R, ω , 求圆心处 \vec{B}



带电体转动, 形成运流电流。

$$I = \frac{q}{T} = \frac{q}{2\pi/\omega} = \frac{q\omega}{2\pi} \quad B = \frac{\mu_0 I}{2R} = \frac{\mu_0 q\omega}{4\pi R}$$

8. 均匀带电圆盘旋转: 已知 q, R, ω , 求圆心处 B



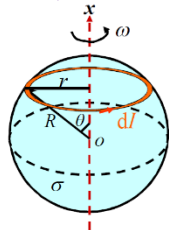
法一: 如图取半径为 r , 宽为 dr 环带。则微元 $dI = \frac{dq}{T} = \frac{\omega}{2\pi} dq \quad dq = \sigma ds = 2\pi\sigma r dr$

$$dB = \frac{\mu_0 dI}{2r} = \frac{\mu_0 \sigma \omega}{2} dr \quad \text{方向} \begin{cases} \sigma > 0, \text{向外} \\ \sigma < 0, \text{向内} \end{cases} \quad \text{则 } B = \frac{\mu_0 \sigma \omega}{2} \int_0^R dr = \frac{\mu_0 \sigma \omega R}{2}$$

法二: 运动电荷磁场有 $dB_0 = \frac{\mu_0}{4\pi} \frac{dq v}{r^2} \quad dq = \sigma ds = 2\pi\sigma r dr \quad dB = \frac{\mu_0 \sigma \omega}{2} dr$

$$v = \omega r \quad B = \frac{\mu_0 \sigma \omega}{2} \int_0^R dr = \frac{\mu_0 \sigma \omega R}{2}$$

9. 旋转均匀带电球面: 已知 R, σ, ω , 求球心 B

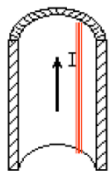


旋转带电球面等效于多个环形电流叠加。取半径为 r 的环带: $dq = \sigma ds = \sigma 2\pi r R d\theta$

$$\text{等效圆电流: } dI = \frac{\omega dq}{2\pi} = \sigma R^2 \omega \sin \theta d\theta \quad dB = \frac{\mu_0 r^2 dI}{2(r^2 + x^2)^{3/2}} = \frac{\mu_0 \sigma R^2 \omega \sin \theta d\theta R^2 \sin^2 \theta}{2R^3} = \frac{R}{2} \mu_0 \sigma \omega \sin^3 \theta d\theta$$

$$B = \int dB = \frac{R}{2} \mu_0 \sigma \omega \int_0^\pi \sin^3 \theta d\theta = \frac{2}{3} \mu_0 R \sigma \omega \quad \text{矢量式: } \vec{B} = \frac{2}{3} \mu_0 R \sigma \vec{\omega}$$

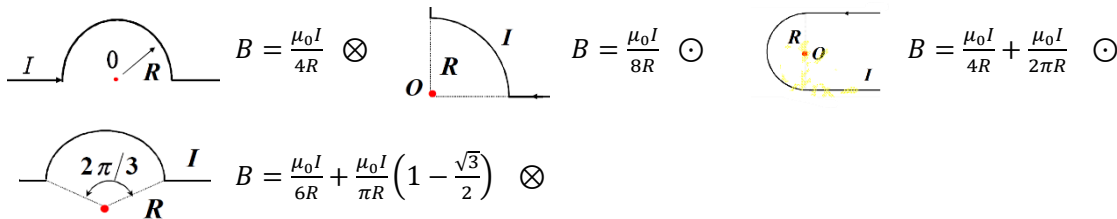
10. 半圆柱型金属片：半径 $R=1\text{cm}$ 无限长，电流 $I=5\text{A}$ 从下而上通过。求轴线上磁感强度



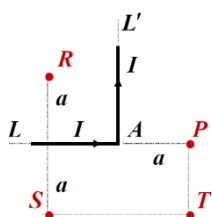
将金属片划分为多个细长条： $dI = \frac{I}{\pi R} R d\theta$ $dB = \frac{\mu_0 dI}{2\pi R} = \frac{\mu_0 I d\theta}{2\pi^2 R}$

根据对称性 $B_y = 0$ $B_x = \int_0^\pi dB \sin \theta = \frac{\mu_0 I}{2\pi^2 R} \int_0^\pi \sin \theta d\theta = \frac{\mu_0 I}{\pi^2 R} = 6.3 \times 10^{-5} \text{ T}$

11. 一些导线模型



12. 有无限长载流直导线弯成如图形状。 $I = 20\text{A}$, $a = 4\text{cm}$, 求 P\ R\ S\ T 四点的 B



P 点: $B_P = B_{LA} + B_{L'A} = 0 + \frac{\mu_0 I}{4\pi a} = 5 \times 10^{-5} \text{ T} \quad \otimes$

R 点: $B_R = B_{LA} + B_{L'A} = \frac{\mu_0 I}{4\pi a} (\cos 0 - \cos \frac{3}{4}\pi) + \frac{\mu_0 I}{4\pi a} (\cos \frac{1}{4}\pi - \cos \pi) = 1.71 \times 10^{-5} \text{ T} \quad \odot$

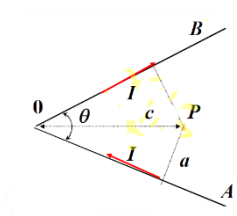
S 点: $B_{LA} = \frac{\mu_0 I}{4\pi a} (\cos 0 - \cos \frac{3}{4}\pi) \quad \otimes$ $B_{L'A} = \frac{\mu_0 I}{4\pi a} (\cos \frac{3}{4}\pi - \cos \pi) \quad \odot$

$B_S = B_{LA} - B_{L'A} = 7.07 \times 10^{-5} \text{ T} \quad \otimes$

T 点: $B_{LA} = \frac{\mu_0 I}{4\pi a} (\cos 0 - \cos \frac{3}{4}\pi) \quad \otimes$ $B_{L'A} = \frac{\mu_0 I}{4\pi a} (\cos \frac{3}{4}\pi - \cos \pi) \quad \odot$

$B_T = B_{LA} + B_{L'A} = 2.94 \times 10^{-5} \text{ T} \quad \otimes$

13. 如图，求角平分线上的 \vec{B}_p ，已知有 I, c

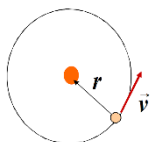


$B_{AO} = \frac{\mu_0 I}{4\pi a} (\cos \alpha_1 - \cos \alpha_2) = \frac{\mu_0 I}{4\pi a} [\cos 0 - \cos(\pi - \frac{\theta}{2})] = \frac{\mu_0 I}{4\pi c \sin \frac{\theta}{2}} (1 + \cos \frac{\theta}{2}) \quad \otimes$

同理 $B_{OB} = \frac{\mu_0 I}{4\pi c \sin \frac{\theta}{2}} (1 + \cos \frac{\theta}{2}) \quad \otimes$

因此 $B_P = B_{AO} + B_{OB} = \frac{\mu_0 I}{2\pi c \sin \frac{\theta}{2}} (1 + \cos \frac{\theta}{2}) \quad \otimes$

14. 氢原子中电子绕核作圆周运动。已知 $v = 0.2 \times \frac{10^6 \text{ m}}{\text{s}}$ $r = 0.53 \times 10^{-10} \text{ m}$, 求轨道中心 B 和电子磁矩 \vec{p}_m



因为 $\vec{B} = \frac{\mu_0}{4\pi} \frac{q\vec{v} \times \hat{r}}{r^2}$, 又 $\vec{v} \perp \hat{r}$ 所以 $B = \frac{\mu_0 e v}{4\pi r^2} \approx 13 \text{ T} \quad \otimes$

又有 $\vec{p}_m = IS\vec{n}$ $S = \pi r^2$ $I = \frac{v}{2\pi r} e$ 所以 $p_m = IS = \frac{1}{2} v r e = 0.93 \times 10^{-23} \text{ Am}^2 \quad \otimes$